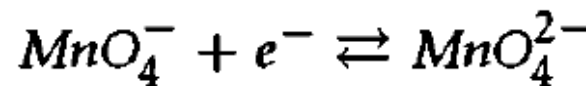
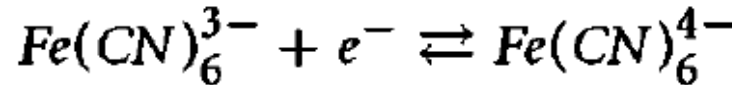


Электродные процессы. Кинетика элементарного акта переноса электрона

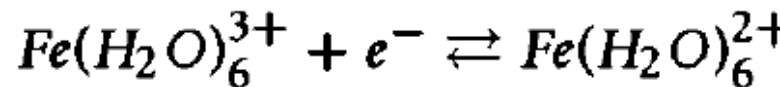
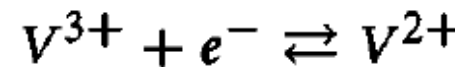
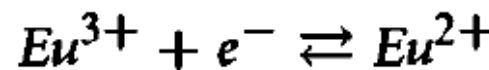
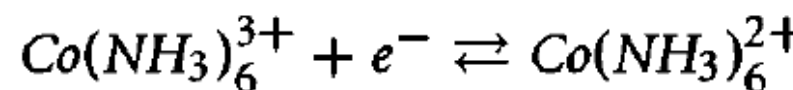
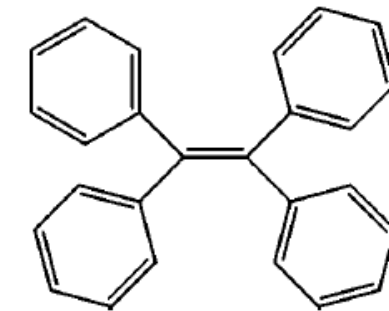
**Почему некоторые реакции ПЭ быстрые,
а другие – очень медленные?**



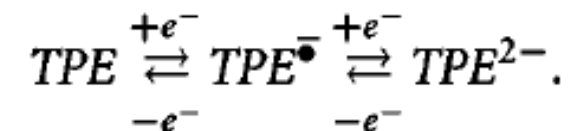
0.2



0.1

 7×10^{-3}  4×10^{-3}  3×10^{-4}  5×10^{-8} 

Тетрафенилэтилен



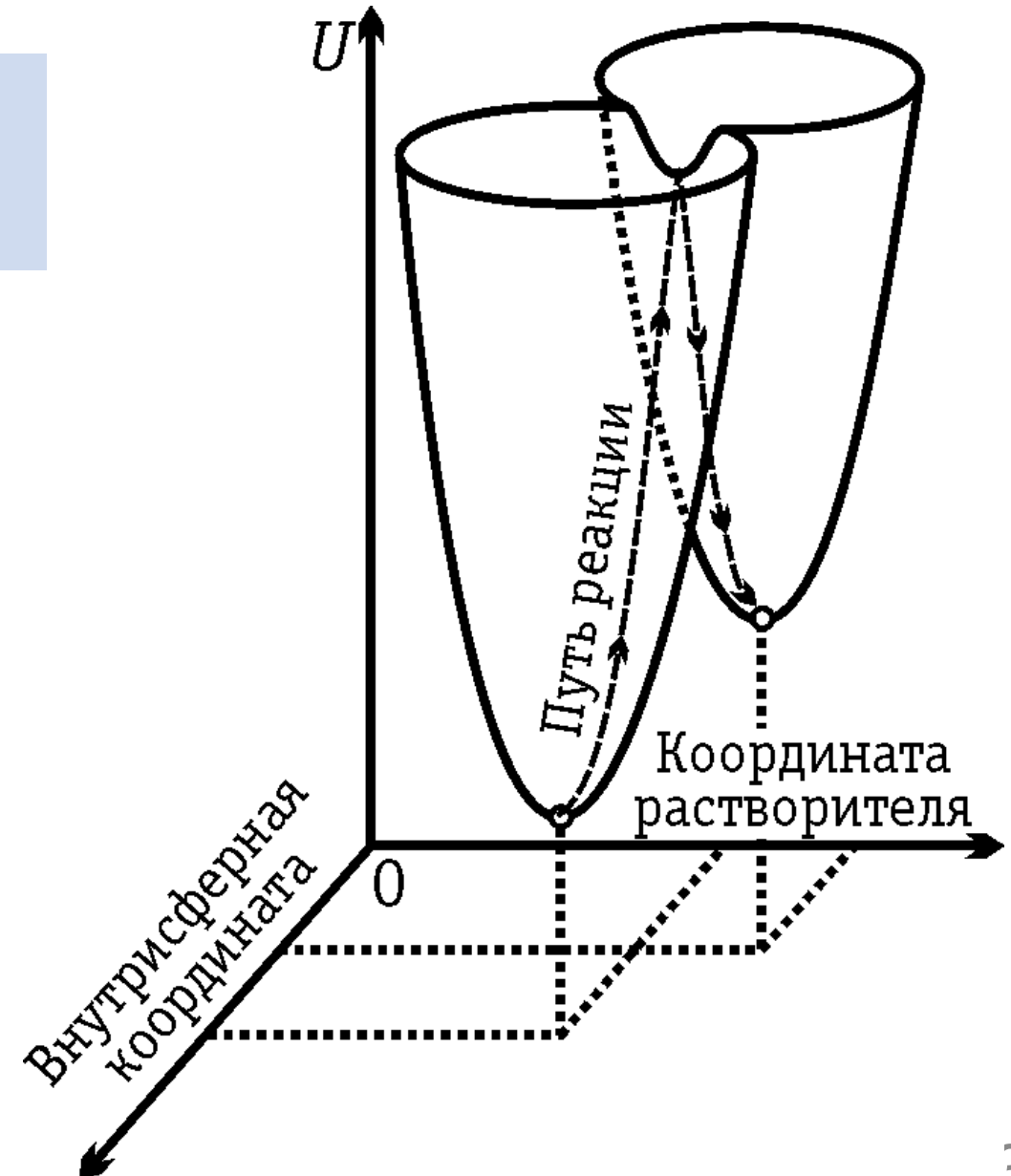
0.1 cm/s 0.008 cm/s

Стадийность электродных процессов

9.7

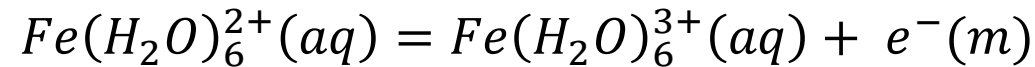
Безызлучательный перенос электрона может осуществляться при близких (или равных) уровнях энергии электрона в частицах донора и акцептора.

- **Р. Герни (1931 г.):** переход электрона с металла на реагент возможен только при равных энергиях начального и конечного состояний.
- Время перехода электрона ($\sim 10^{-15}$ с) много меньше времени, необходимого для изменения положения атомов ($\sim 10^{-13}$ с).
- Обобщенная координата – ориентация диполей растворителя и длины связей в переходном состоянии

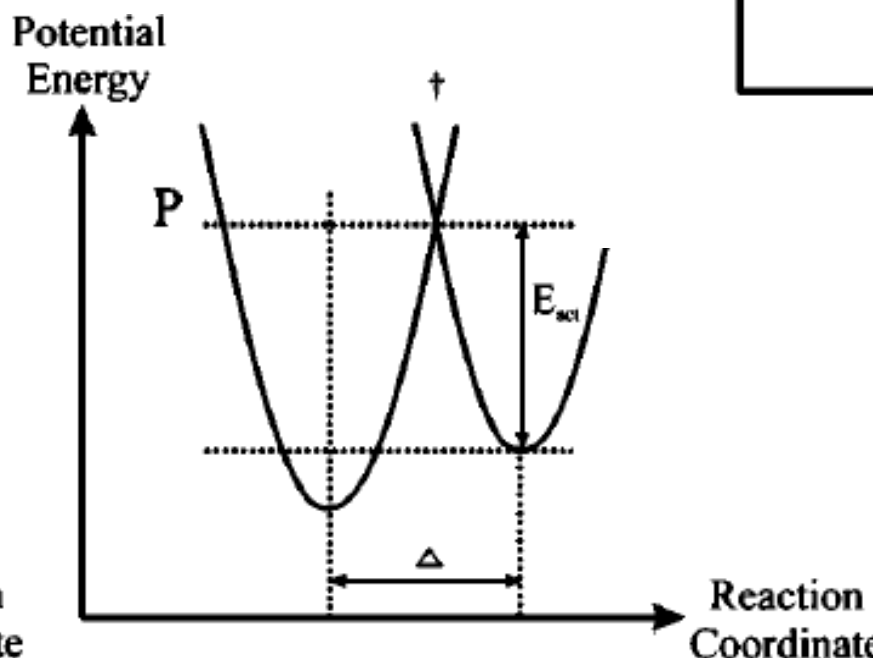
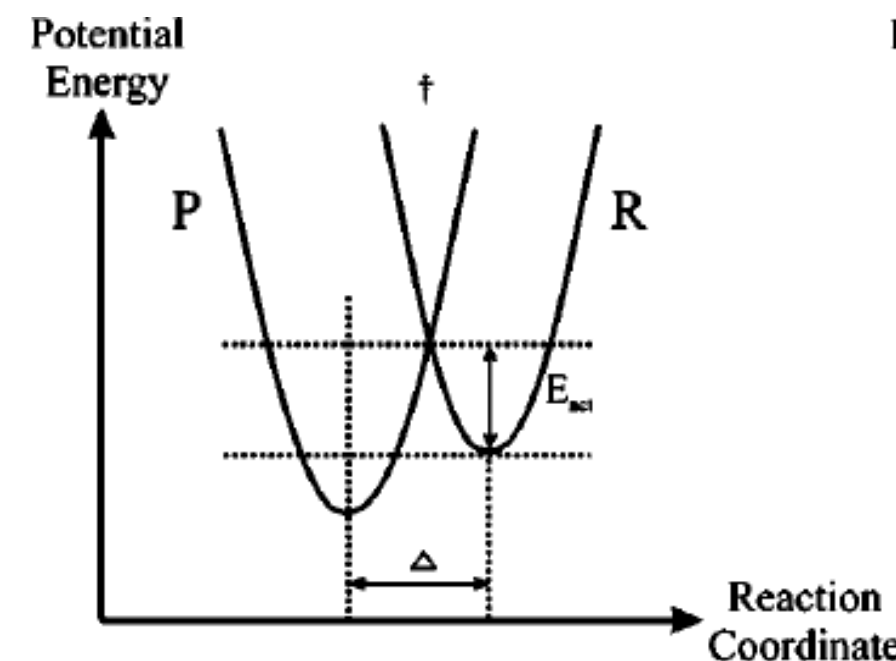
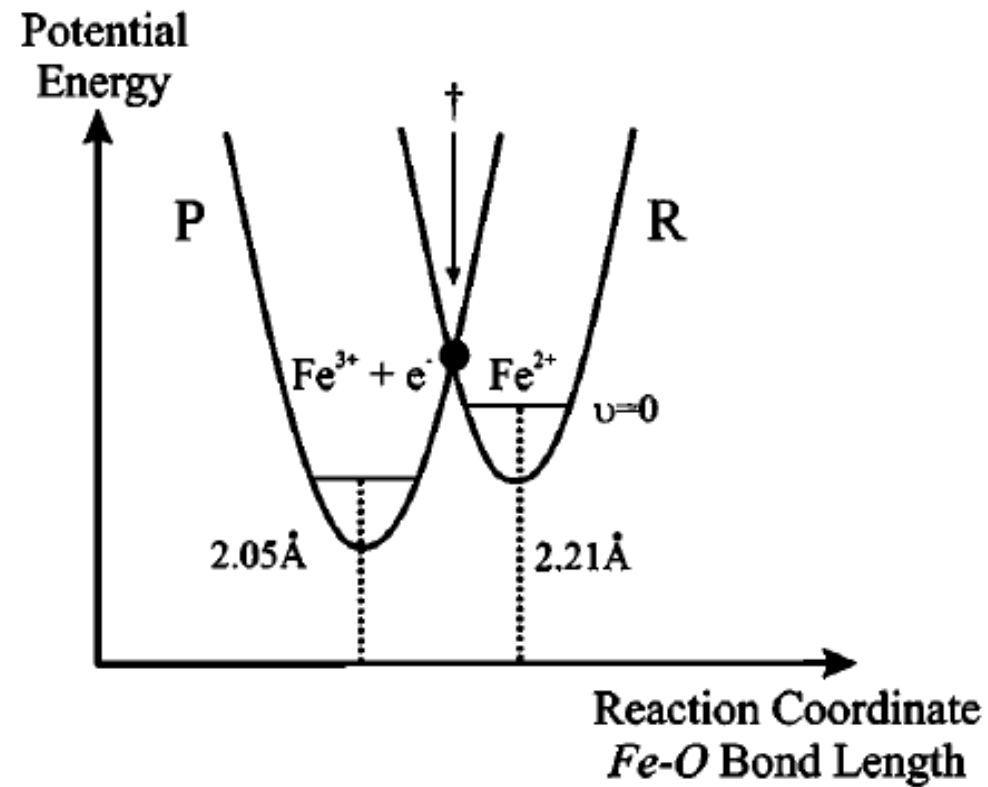


Поверхности потенциальной энергии

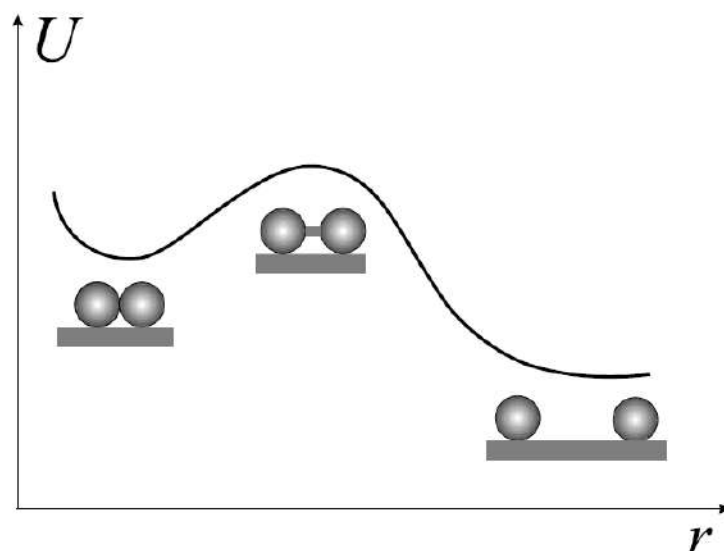
9.7



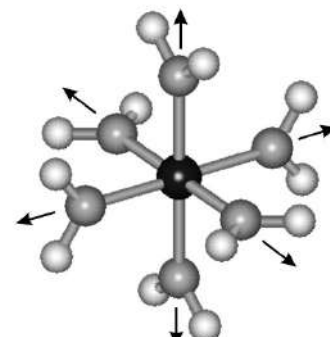
- Чем сильнее отличаются координаты реакции для реагента и продукта, тем выше энергия переходного состояния



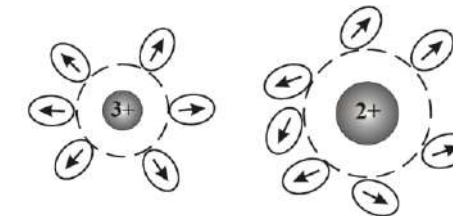
Координата реакции



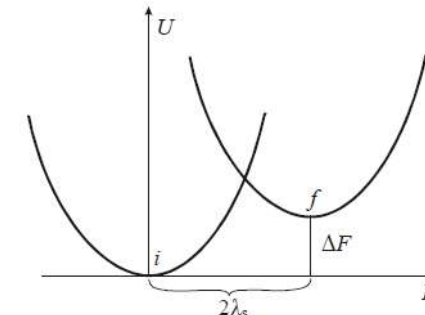
- диссоциативная адсорбция



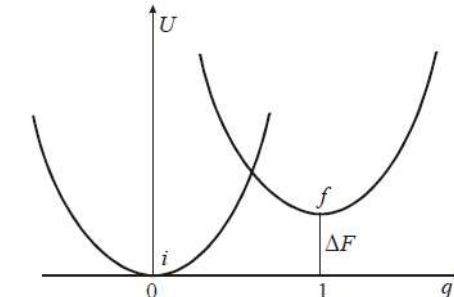
- изменение длин связей



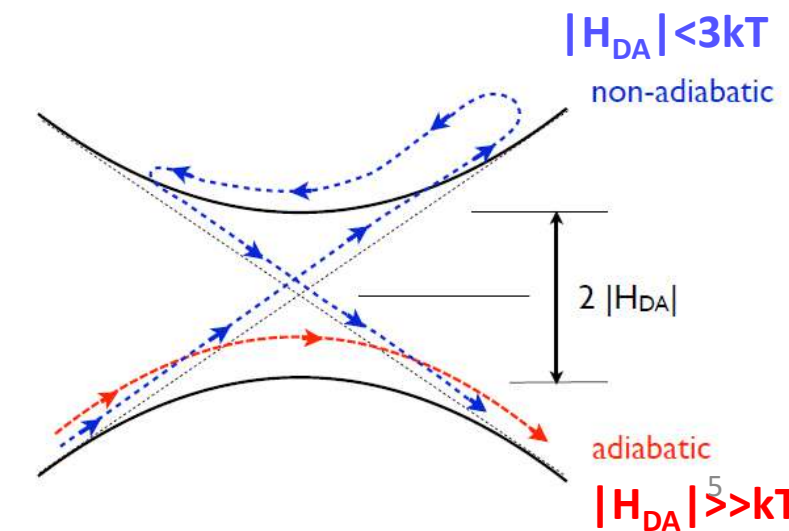
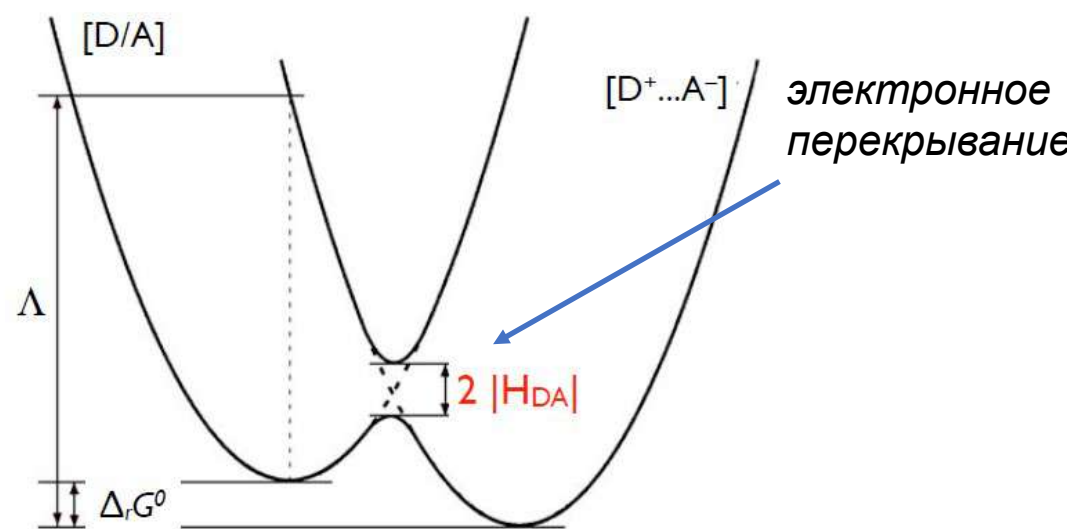
- изменение поляризации растворителя



- неравновесная сольватация



- обобщенная координата растворителя



Энергия реорганизации

$$G_R = G_R(X = X_R) + \frac{1}{2}k(X - X_R)^2$$

$$G_P = G_P(X = X_P) + \frac{1}{2}k(X - X_P)^2$$

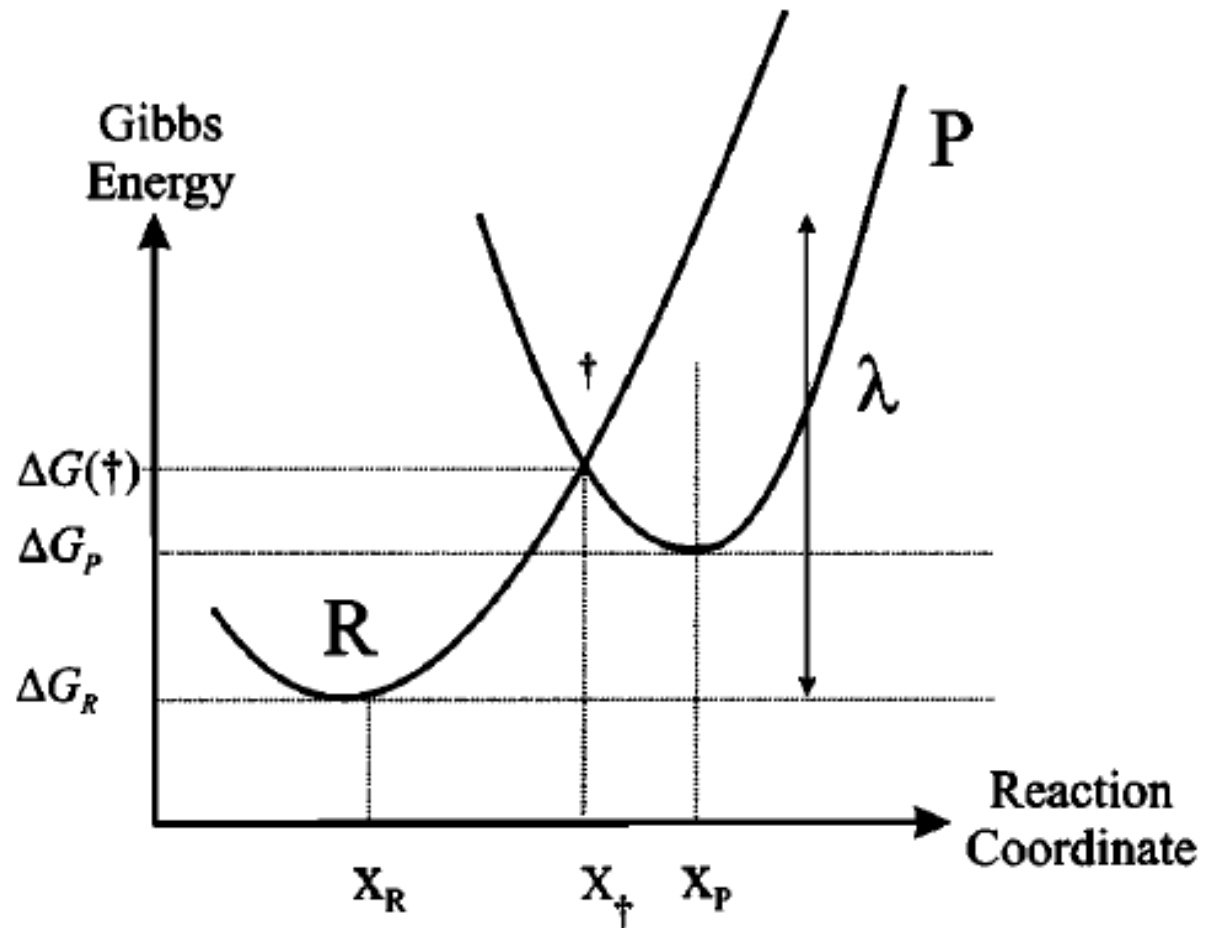
$$G^\neq = G_R(X = X_R) + \frac{1}{2}k(X_\neq - X_R)^2$$

$$G^\neq = G_P(X = X_P) + \frac{1}{2}k(X_\neq - X_P)^2$$

$$X_\neq = \frac{1}{2}(X_R + X_P) - \frac{G_P(X = X_P) - G_R(X = X_R)}{k(X_R - X_P)}$$

$$\Delta G^\neq = G^\neq - G_R(X = X_R)$$

$$= \frac{1}{8}k(X_R - X_P)^2 + \frac{1}{2}[G_p(X = X_p) - G_R(X = X_R)] \\ + \frac{[G_P(X = X_p) - G_R(X = X_p)]^2}{2k(X_R - X_P)^2}$$



$$\lambda = \frac{1}{2}k(X_R - X_P)^2$$

энергия реорганизации

$$\boxed{\Delta G^\neq = \frac{(\lambda + \Delta G_{\Pi\Theta})^2}{4\lambda}}$$

Теория Маркуса (1956)

Параболические термы начального/конечного состояния с одинаковой крутизной

$$U_{\text{H/K}}(Q) = \frac{1}{2} \hbar \omega (Q - Q_{\text{H/K}})^2 + U_{\text{H/K}}^0$$

$$\text{Полная энергия реорганизации } \lambda_{\pi} = \lambda_p + \lambda_{\text{вн}} = \frac{1}{2} k(Q_2 - Q_1)^2$$

$$\text{Свободная энергия переноса электрона } \Delta G_{\text{пэ}} = U_{\text{K}}^0 - U_{\text{H}}^0$$

$$\text{Энергия активации } \Delta G^{\neq} = \frac{1}{2} \hbar \omega (Q^* - Q_1)^2$$

$$\Delta G^{\neq} = \frac{(\Delta G_{\text{пэ}} + \lambda_{\pi})^2}{4\lambda_{\pi}}$$

Коэффициент переноса

$$\Delta G^{\neq} = \frac{\lambda_{\pi}}{4} + \alpha \Delta G_{\text{пэ}}$$

Перенапряжение

Работы подвода и отвода

$$F\eta + W_R - W_O$$

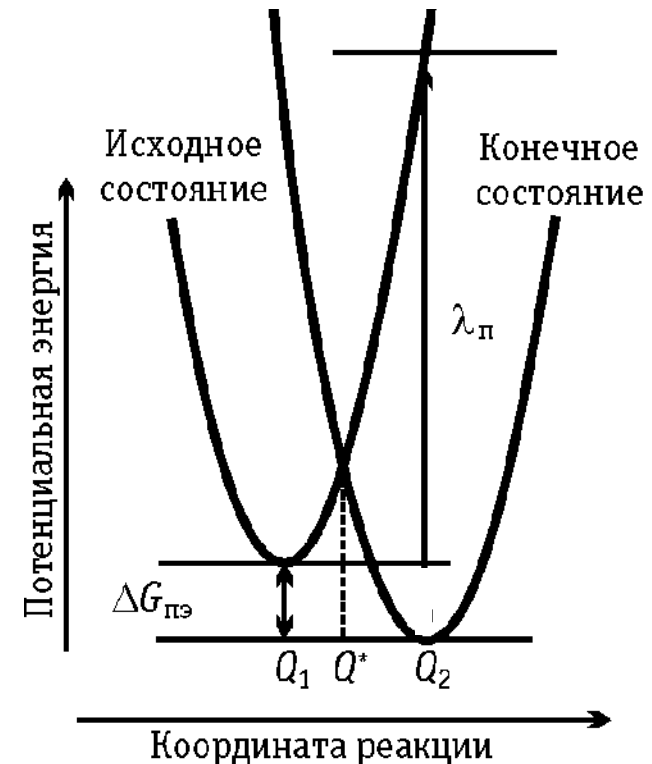
$$\lambda_p = N_A \frac{e_0^2}{4\pi\varepsilon_0} \left(\frac{1}{\varepsilon_{\text{оп}}} - \frac{1}{\varepsilon} \right) \left(\frac{1}{2a_1} + \frac{1}{2a_2} - \frac{1}{R} \right) \text{ (гомогенная реакция)}$$

$$\lambda_p = N_A \frac{e_0^2}{4\pi\varepsilon_0} \left(\frac{1}{\varepsilon_{\text{оп}}} - \frac{1}{\varepsilon} \right) \left(\frac{1}{2a} - \frac{1}{4R} \right) \text{ (гетерогенная реакция)}$$

$$\lambda_{\text{вн}} = \frac{1}{2} \sum_j f_j (\Delta Q_j)^2 \quad f_j = \frac{2f_0 f_R}{f_0 + f_R}$$

изменения длин связей
(структурные данные)

силовые постоянные
(из ИК-спектров)



Сравнение с экспериментом

Table 2.2. Comparison of experimental and calculated standard* Gibbs energies of activation for $O + e^- \rightleftharpoons R$.

	Experimental $\Delta G^0(\dagger)/\text{kJmol}^{-1}$	Calculated $\Delta G^0(\dagger)/\text{kJmol}^{-1}$
Tetracene (in DMF)	22	21
Naphthalene (in DMF)	23	24
$Fe(CN)_6^{3-}$	29	30
WO_4^{2-}	34	36
MnO_4^-	34	37
$Fe(H_2O)_6^{3+}$	36	38
$V(H_2O)_6^{3+}$	37	37
$Mn(H_2O)_6^{3+}$	41	45
$Ce(H_2O)_6^{4+}$	50	28
$Cr(H_2O)_6^{3+}$	52	42
$Co(H_2O)_6^{3+}$	56	38

DMF = N,N-dimethylformamide

Adapted from Refs. [1] and [12].

*Here, standard implies that the electrode potential matches the formal potential of the redox couple.

Инвертированная маркусовская область

9.7

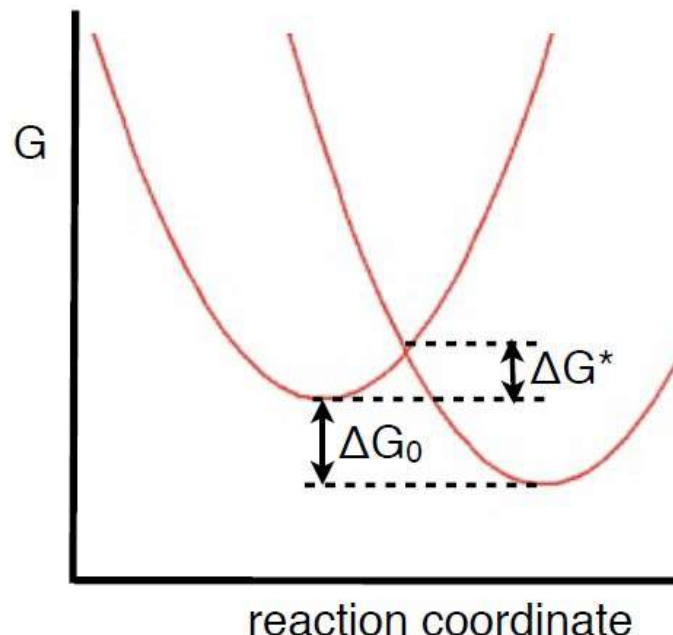
$$\Delta G^\ddagger = \frac{\lambda_\pi}{4} + \alpha \Delta G_{\text{пэ}}$$

$$\alpha = \frac{d(\Delta G^\ddagger)}{d(\Delta G_{\text{пэ}})} = \frac{1}{2} + \frac{\Delta G_{\text{пэ}}}{2\lambda_\pi}$$

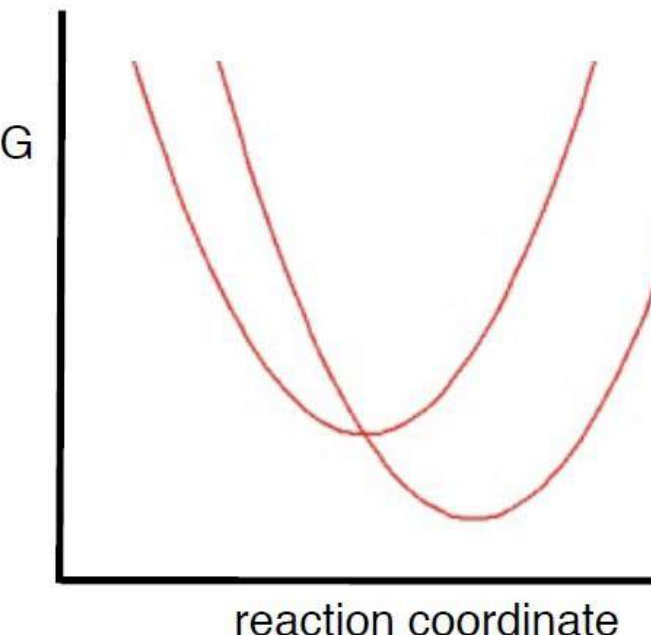
- при больших отрицательных $\Delta G_{\text{пэ}}$ величина α меняет знак
энергия активации растет



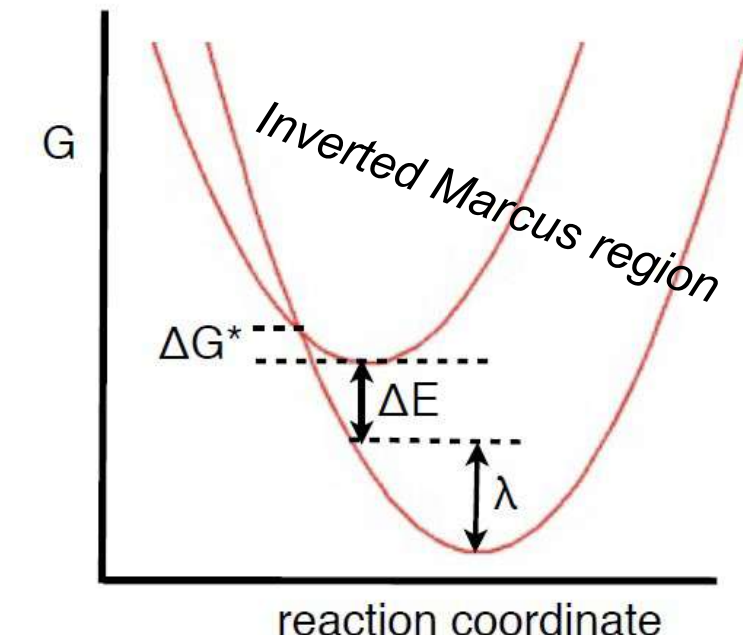
движущая сила ↑
скорость реакции ↑



$$\Delta G^\ddagger = 0$$

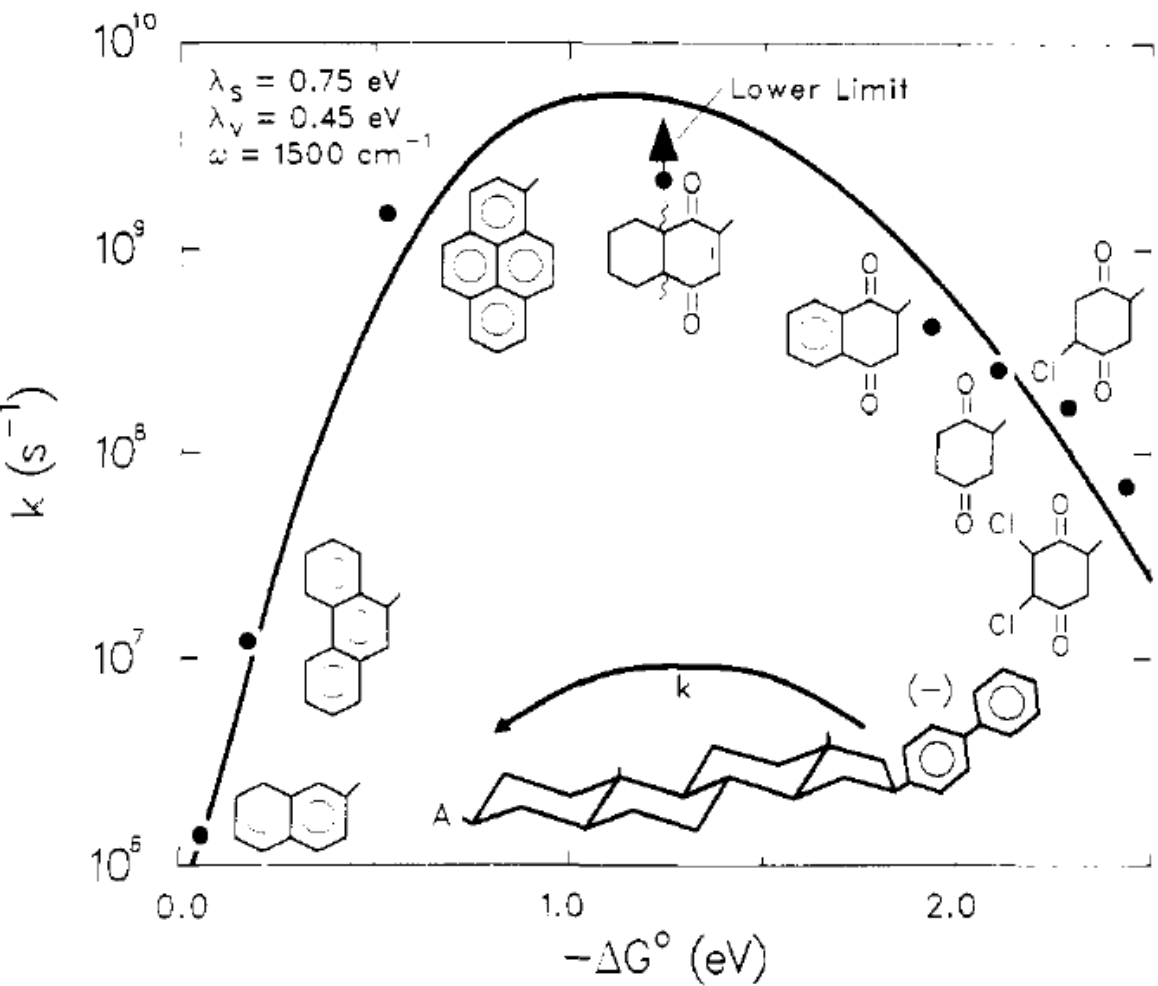
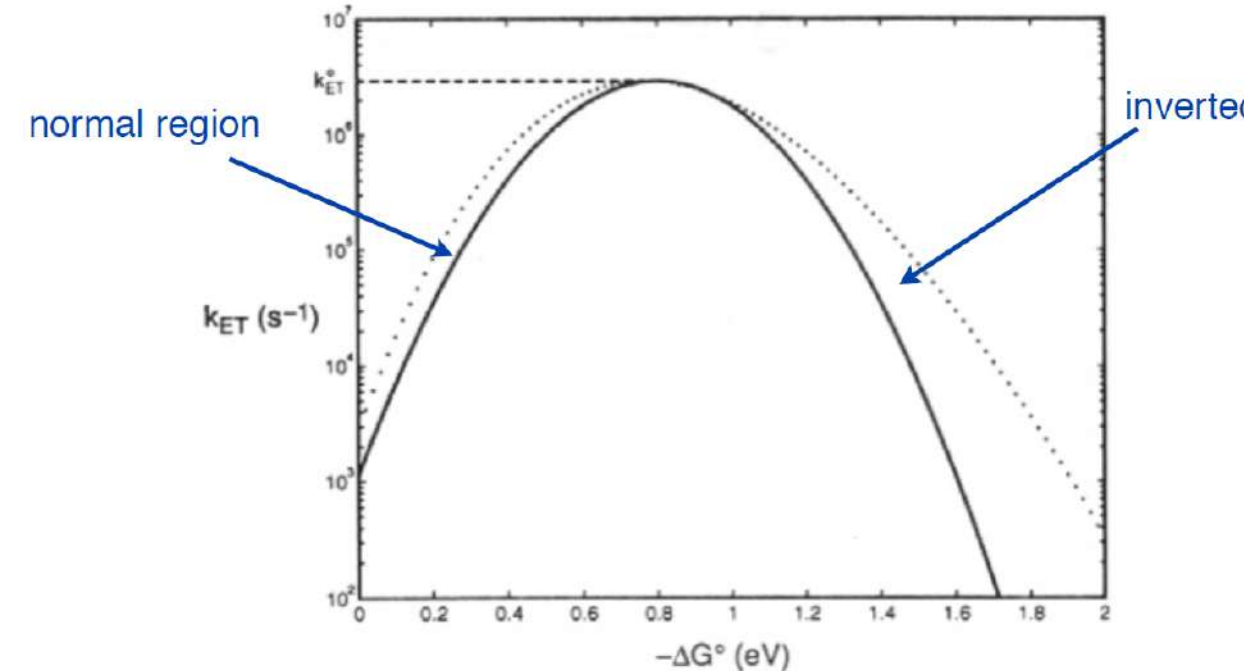


движущая сила ↑
скорость реакции ↓



Инвертированная маркусовская область

9.7



Miller, Calcaterra, Closs, JACS 106, 3047 (1984)

10

Прогнозирование скорости переноса электрона

9.7

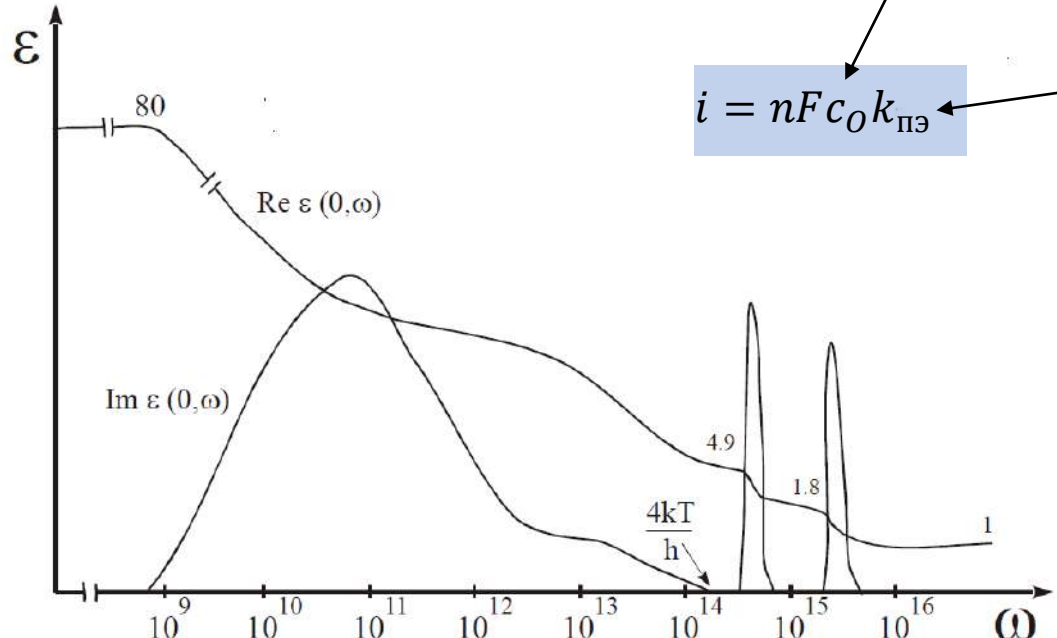
$$k(a) = \frac{1}{\tau_{\text{eff}}} \delta x \exp\left(-\frac{W_O}{k_B T}\right) \exp\left[\frac{-(\lambda + W_O - W_R - e_0 \eta)^2}{4\lambda k_B T}\right]$$

$$k(\text{na}) = \kappa_e \frac{\omega_{\text{eff}}}{2\pi} \delta x \exp\left(-\frac{W_O}{k_B T}\right) \exp\left[\frac{-(\lambda + W_O - W_R - e_0 \eta)^2}{4\lambda k_B T}\right]$$

Работа подвода реагента и отвода продукта

$$W_O = F Z_O \psi_1 + g_O \quad W_R = F Z_R \psi_1 + g_R$$

$$\frac{\omega_{\text{eff}}}{2\pi} = v_{\text{eff}} = \frac{1}{\tau_L} = \frac{1}{\tau_{D,\varepsilon_{\text{op}}}/\varepsilon_s}$$



$$c_O = c_O^{(0)} \exp\left(-\frac{W_O}{RT}\right)$$

$$i = n F c_O k_{\text{ПЭ}}$$

$$k_{\text{ПЭ}} = A_{\text{П}} \exp\left(-\frac{\Delta G^\ddagger}{RT}\right)$$

$$\Delta G^\ddagger = W_O + \frac{(\Delta G_{\text{ПЭ}} + \lambda_{\text{П}})^2}{4\lambda_{\text{П}}}$$

$$\frac{\omega_{\text{eff}}}{2\pi} = \left(\frac{\nu_{\text{BH}}^2 \lambda_{\text{BH}} + \nu_p^2 \lambda_p}{\lambda_{\text{П}}} \right)^{1/2}$$

$$\kappa_{\text{эл}} = \frac{2\pi}{\omega_{\text{eff}}} \frac{4\pi^2}{h} H_{DA}^2 \left(\frac{1}{4\pi\lambda_{\text{П}} kT} \right)^{1/2}$$

Безактивационный разряд

- В электродной реакции участвуют все электроны металла

энергия электрона отсчитанная от ε_F

$$i = \text{const} \cdot \exp\left(-\frac{W_0}{RT}\right) \int_{-\infty}^{+\infty} \exp\left\{\frac{(\lambda_\pi + \Delta G_{\text{пэ}} - \varepsilon)^2}{4\lambda_\pi RT}\right\} \frac{1}{1 + \exp\left(\frac{\varepsilon}{RT}\right)} \rho(\varepsilon) d\varepsilon$$

(Левич, Догонадзе, Чизмаджев, Кузнецов)

- При высоких перенапряжениях вклад в ток вносят электроны с более высоких уровней (нет инвертированной маркусовской области)
- При высоких перенапряжениях величина α может принимать нулевые или даже отрицательные значения

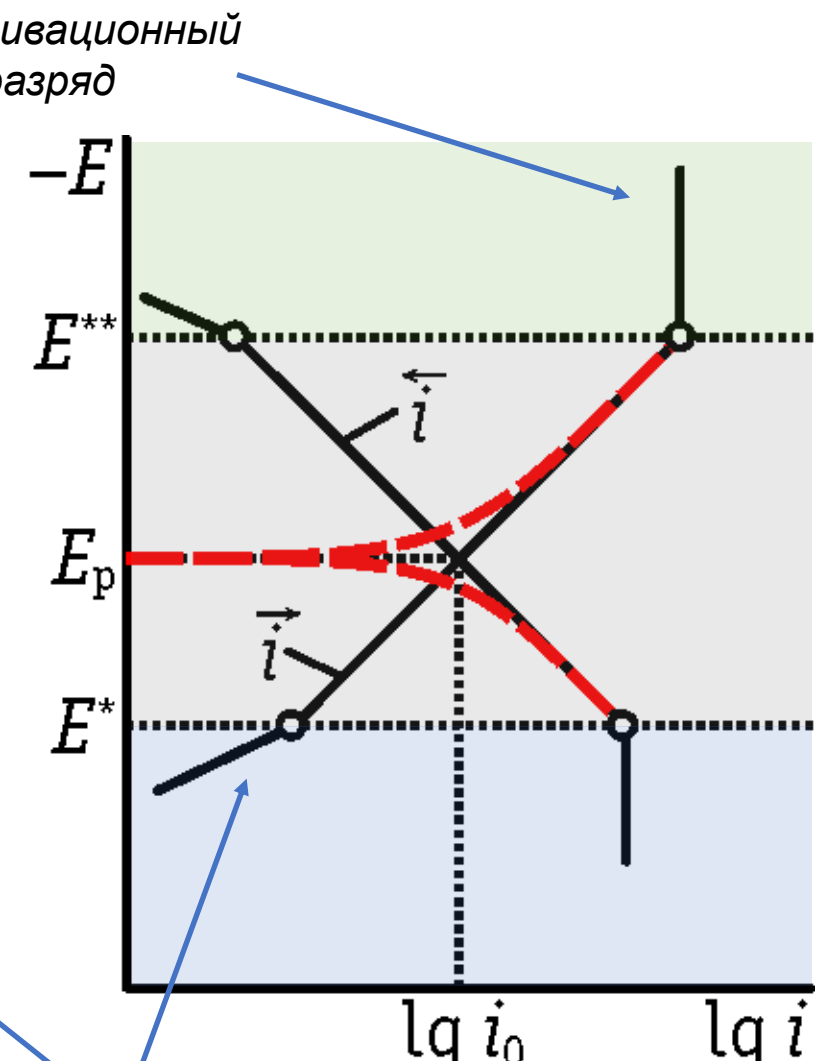
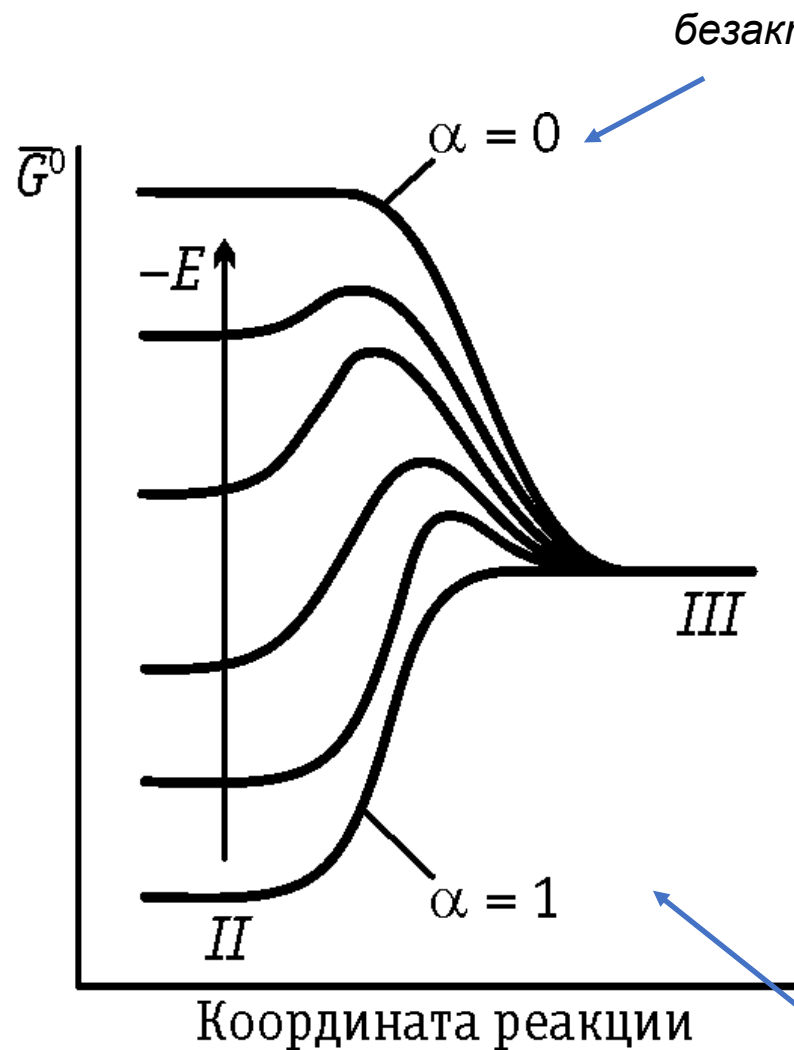
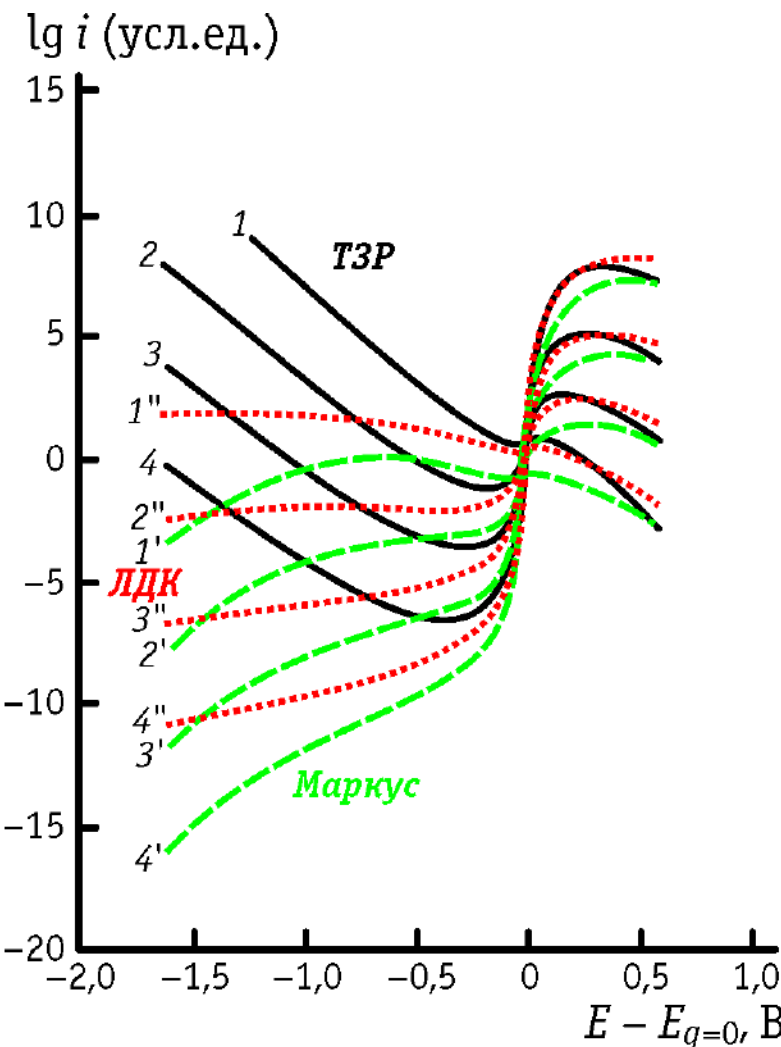
$$\alpha = \frac{d(\Delta G^\neq)}{d(\Delta G_{\text{пэ}})} = \frac{1}{2} + \frac{\Delta G_{\text{пэ}}}{2\lambda_\pi}$$

- *Безактивационный режим:* скорость процесса не зависит от η (определяется зависимостью от потенциала работ подвода и отвода)

$$\Delta G^\neq = \frac{\lambda_\pi}{4} + \alpha \Delta G_{\text{пэ}}$$

Безактивационный разряд

9.8



- В области безбарьерного разряда обратный процесс является безактивационным, а в области безактивационного разряда обратный процесс - безбарьерным

13

Эффект растворителя

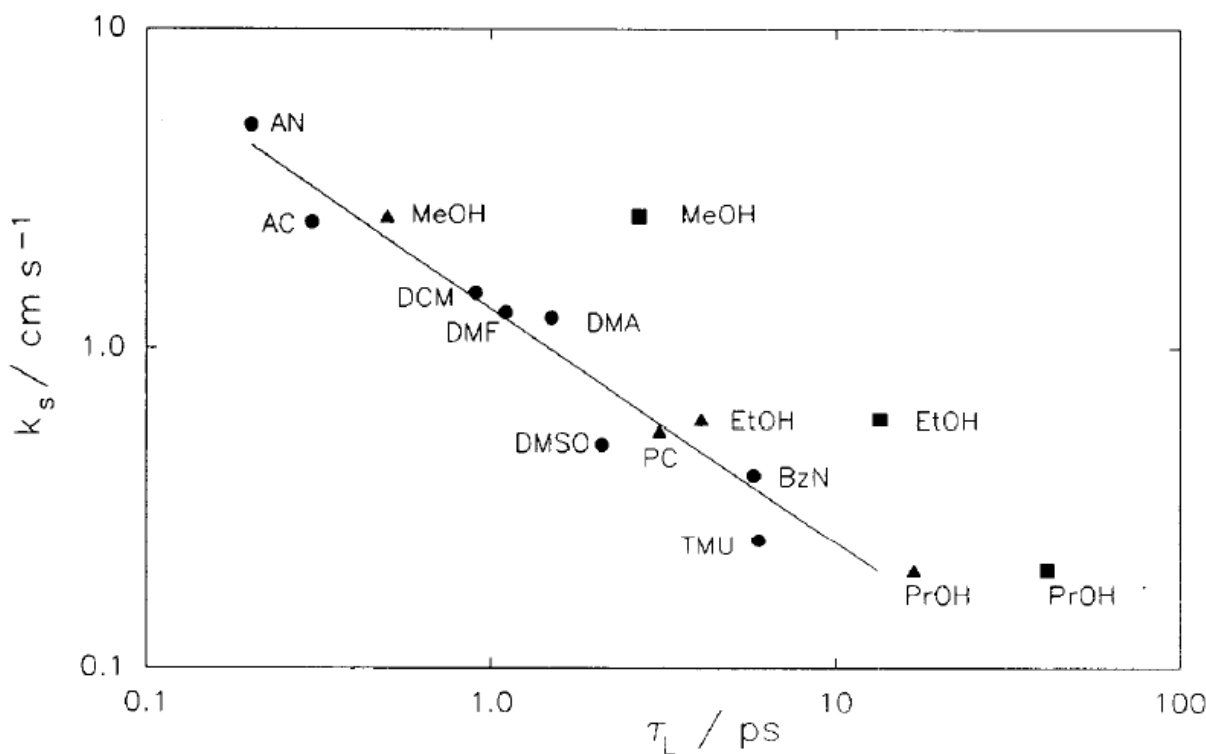
динамический эффект

$$k(a) = \frac{1}{\tau_{\text{eff}}} \delta x \exp\left(-\frac{W_O}{k_B T}\right) \exp\left[\frac{-(\lambda + W_O - W_R - e_0 \eta)^2}{4\lambda k_B T}\right]$$

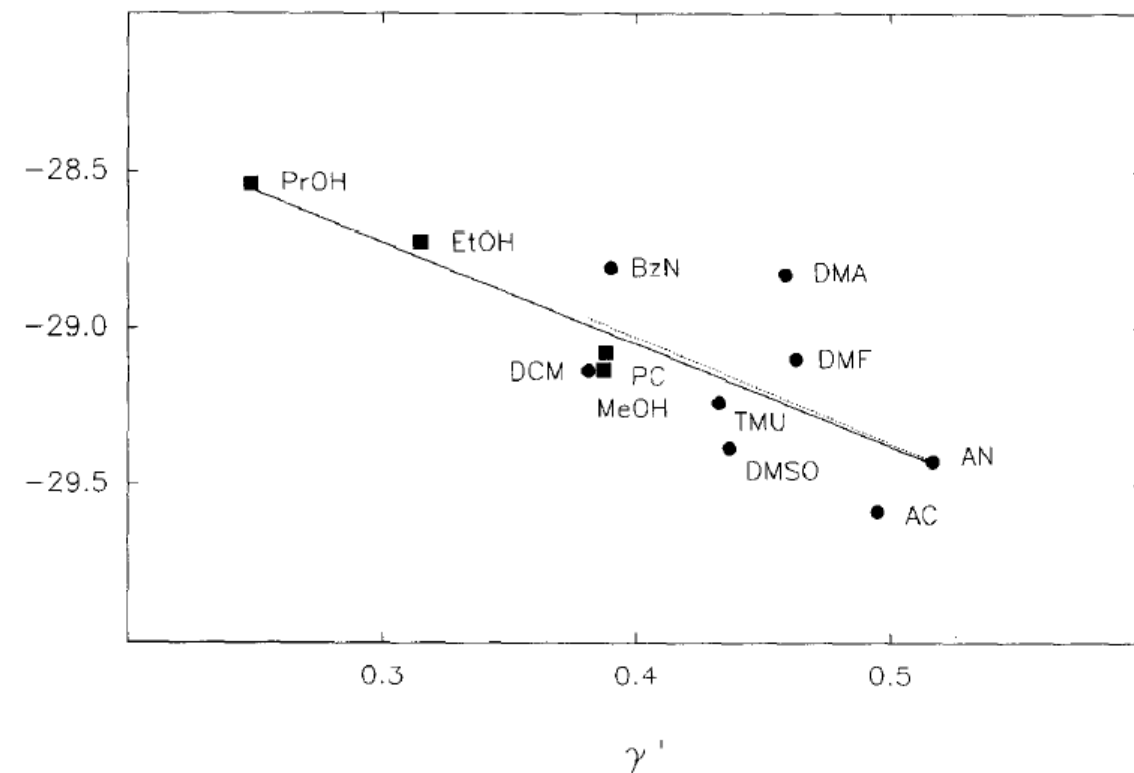
статический эффект

$$\lambda_p = N_A \frac{e_0^2}{4\pi\varepsilon_0} \underbrace{\left(\frac{1}{\varepsilon_{\text{оп}}} - \frac{1}{\varepsilon}\right)}_{\text{Пекаровский фактор}} \left(\frac{1}{2a} - \frac{1}{4R}\right)$$

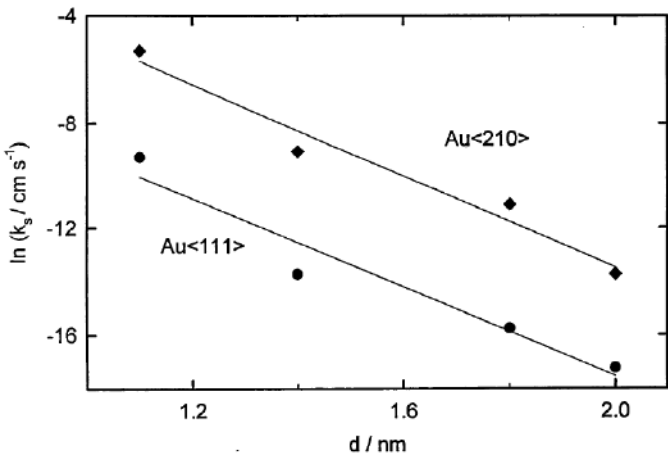
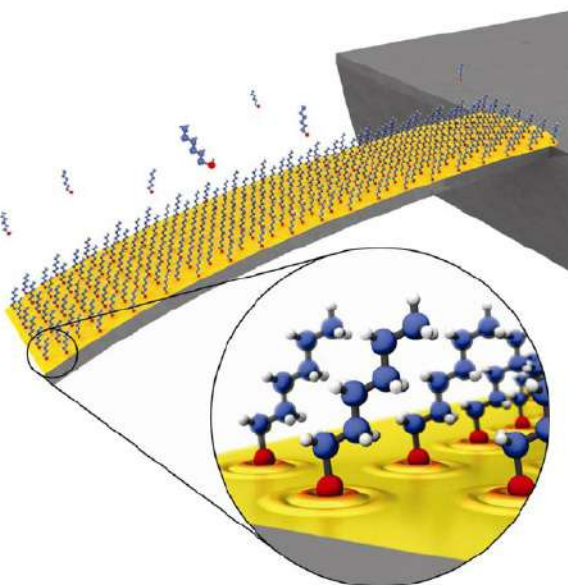
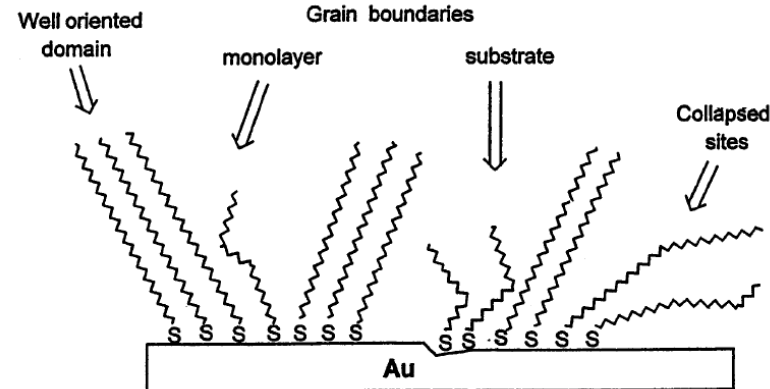
Пекаровский фактор



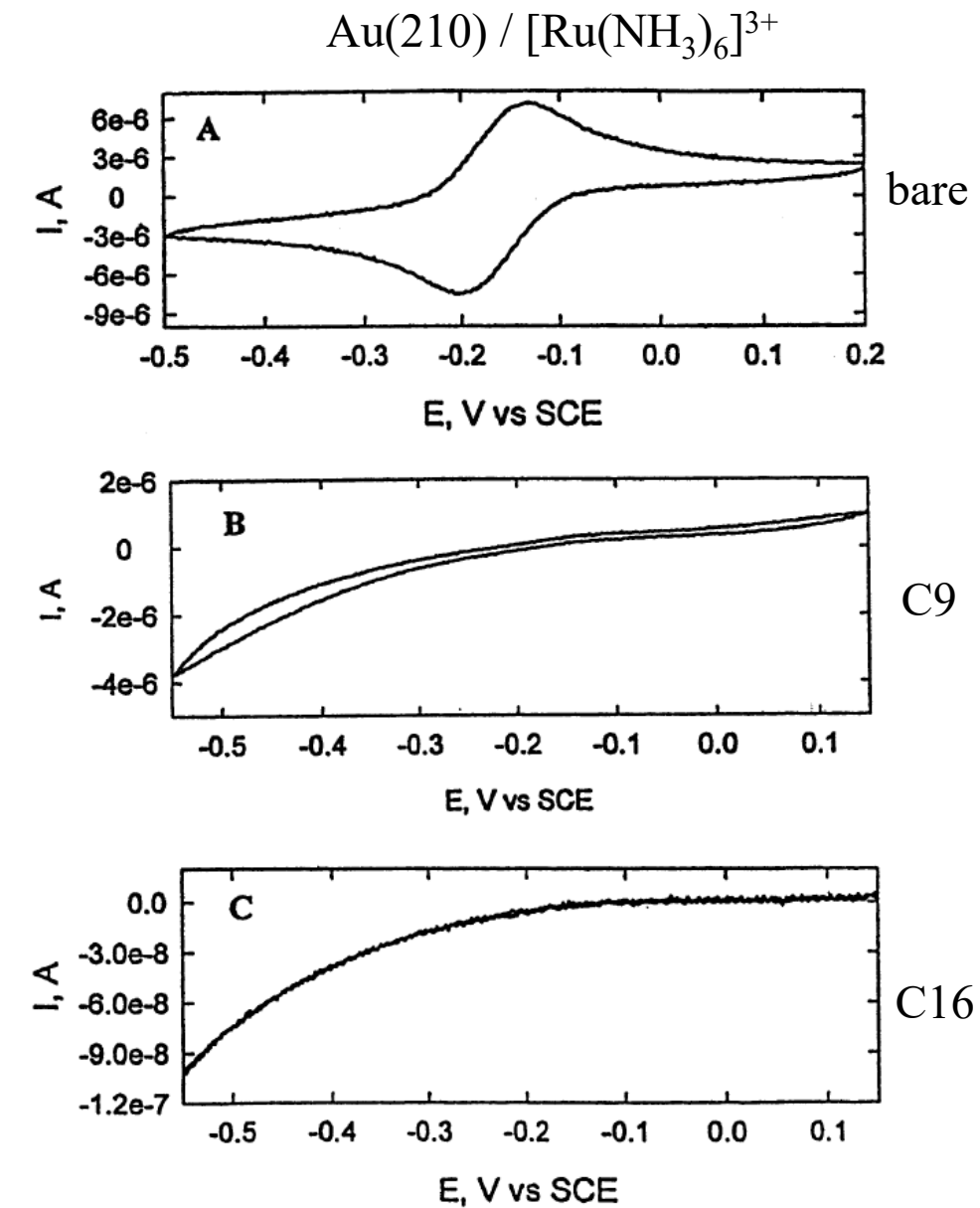
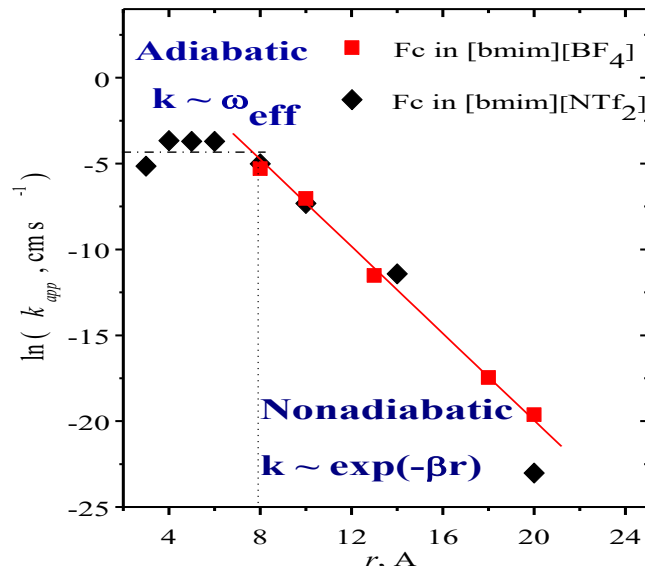
$\ln k_s + \alpha \ln \tau_L$



«Дальний» перенос электрона



Au(111) / $[\text{Ru}(\text{NH}_3)_6]^{3+}$



Задачи для подготовки к КР

1. Как изменится pH раствора 0.0005 М хлорной кислоты при температуре 40°C после добавления в него 0.1 М хлорида натрия?
2. На поверхность электрода нанесли 3 мг катализатора (наночастицы платины на саже) с массовой долей платины 20%. Рассчитайте средний диаметр частиц платины, если на образование монослоя адатомов меди затрачен заряд 31.9 мКл.
3. Рассчитать соотношение скоростей следующих катодных процессов при потенциале -0.04 В (в шкале нас. к. э.) и температуре 298 К: 1) TcO_4^-/Tc ; 2) $RhCl_6^{3-}/Rh$; 3) $Fe(CN)_6^{3-}/Fe(CN)_6^{4-}$. Считать лимитирующей первую стадию переноса одного электрона. Концентрации реагентов во всех растворах: 0.1 моль·л⁻¹. Другие необходимые для расчётов величины можно найти здесь: <http://www.elch.chem.msu.ru/rus/sprav/iobm.pdf>. Допустить, что концентрация электролита фона достаточно велика для экранирования электростатических взаимодействий реагентов с электродом.
4. В 1 литр раствора, содержащего 10^{-4} моль Na_3HEDTA (кислая соль), добавили 10^{-4} моль $FeCl_3$ и столько же $FeCl_2$. Десятичный логарифм константы устойчивости комплекса $Fe(III)HEDTA$ равен 14.6. Считать, что весь ЭДТА в растворе монопротонирован. Образованием комплекса $Fe(II)HEDTA^-$ пренебречь. Найти коэффициенты a и b в уравнении Тафеля для реакции восстановления Fe^{3+} до Fe^{2+} в данном растворе при температуре 298 К, если известно, что для этой реакции кажущаяся (измеряемая) константа скорости равна $2.5 \cdot 10^{-1}$ см·с⁻¹. Найти скорость процесса при перенапряжении 0.4 В. Коэффициент переноса принять равным 0.5.